

МОСКОВСКИЙ ФИЗИКО-ТЕХНИЧЕСКИЙ ИНСТИТУТ  
(НАЦИОНАЛЬНЫЙ ИССЛЕДОВАТЕЛЬСКИЙ УНИВЕРСИТЕТ)

## **Лабораторная работа 3.6.1**

Спектральный анализ электрических сигналов

Выполнил:

Гисич Арсений

Б03-102

Долгопрудный

2022

# 1 Аннотация

В работе изучается спектральный состав периодических электрических сигналов различной формы: последовательности прямоугольных импульсов, последовательности цугов и амплитудно модулированных гармонических колебаний. Спектры этих сигналов наблюдаются с помощью цифрового осциллографа и сравниваются с рассчитанными теоретически.

## 2 Теоретические сведения

Представление периодического сигнала в виде суммы гармонических сигналов называется разложением в ряд Фурье.

Пусть заданная функция  $f(t)$  периодически повторяется с частотой  $\Omega_1 = \frac{2\pi}{T}$ , где  $T$  — период повторения. Ее разложение в ряд Фурье имеет вид

$$f(t) = \frac{a_0}{2} + \sum_{n=1}^{\infty} [a_n \cos(n\Omega_1 t) + b_n \sin(n\Omega_1 t)]$$

Здесь  $\frac{a_0}{2}$  — среднее значение функции  $f(t)$ ,

$$a_n = \frac{2}{T} \int_{t_1}^{t_1+T} f(t) \cos(n\Omega_1 t) dt,$$

$$b_n = \frac{2}{T} \int_{t_1}^{t_1+T} f(t) \sin(n\Omega_1 t) dt.$$

Рассмотрим периодические функции, которые исследуются в нашей работе.

**Периодическая последовательность прямоугольных импульсов** (рис. 1) с амплитудой  $V_0$ , длительностью  $\tau$ , частотой повторения  $\Omega_1 = \frac{2\pi}{T}$ , где  $T$  — период повторения импульсов. Найдем коэффициенты разложения ряда Фурье:

$$\frac{a_0}{2} = V_0 \frac{\tau}{T},$$

$$a_n = \frac{2}{T} \int_{-\frac{\tau}{2}}^{\frac{\tau}{2}} V_0 \cos(n\Omega_1 t) dt = 2V_0 \frac{\tau}{T} \frac{\sin(n\Omega_1 \frac{\tau}{2})}{n\Omega_1 \frac{\tau}{2}} \sim \frac{\sin x}{x}.$$

Поскольку наша функция четная, все коэффициенты синусоидальных гармоник  $b_n = 0$ . Спектр  $a_n$  последовательности прямоугольных импульсов представлен на рис. 2 (изображен случай, когда  $T$  кратно  $\tau$ ).

Назовем *шириной спектра*  $\Delta\omega$  расстояние от главного максимума ( $\omega = 0$ ) до первого нуля огибающей, возникающего при  $n = \frac{2\pi}{\tau\Omega_1}$ . При этом

$$\Delta\omega\tau \simeq 2\pi$$

или

$$\Delta\nu\Delta t \simeq 1$$

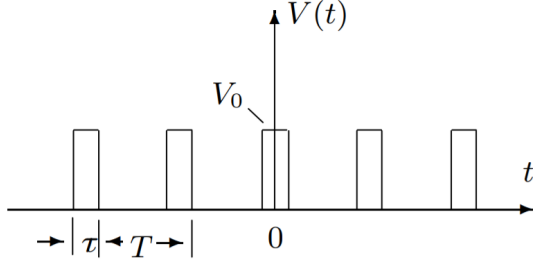


Рис. 1: Прямоугольные импульсы

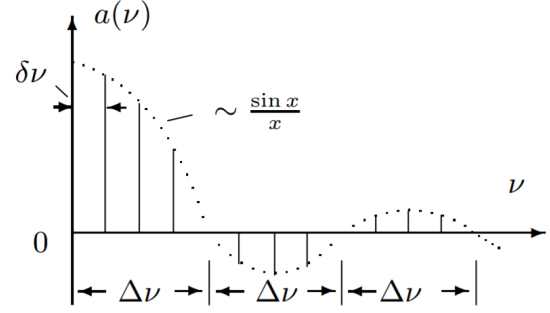


Рис. 2: Спектр последовательности прямоугольных импульсов

Полученное соотношение взаимной связи интервалов  $\Delta \nu$  и  $\Delta t$  является частным случаем соотношения неопределенности в квантовой механике.

**Периодическая последовательность цугов** гармонического колебания  $V_0 \cos(\omega_0 t)$  с длительностью цуга  $\tau$  и периодом повторения  $T$  (рис. 3).

Функция  $f(t)$  снова является четной относительно  $t = 0$ . Коэффициент при  $n$ -й гармонике равен

$$a_n = \frac{2}{T} \int_{-\frac{\tau}{2}}^{\frac{\tau}{2}} V_0 \cos(\omega_0 t) \cos(n\Omega_1 t) dt = V_0 \frac{\tau}{T} \left( \frac{\sin[(\omega_0 - n\Omega_1)\frac{\tau}{2}]}{(\omega_0 - n\Omega_1)\frac{\tau}{2}} + \frac{\sin[(\omega_0 + n\Omega_1)\frac{\tau}{2}]}{(\omega_0 + n\Omega_1)\frac{\tau}{2}} \right)$$

Зависимость для случая, когда  $\frac{T}{\tau}$  равно целому числу, представлена на рис. 4. Сравнивая спектр последовательности прямоугольных импульсов и цугов мы видим, что они аналогичны, но их максимумы сдвинуты по частоте на величину  $\omega_0$ .

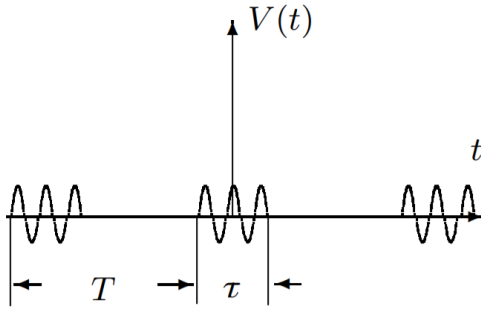


Рис. 3: Последовательность цугов

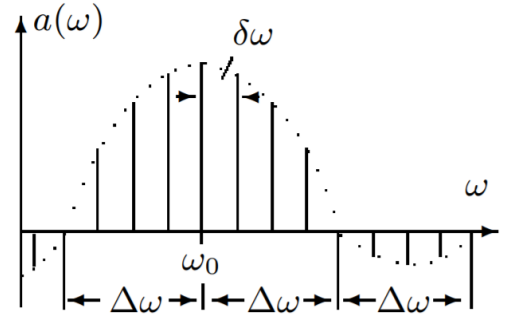


Рис. 4: Спектр последовательности цугов

**Амплитудно-модулированные колебания.** Рассмотрим гармонические колебания высокой частоты  $\omega_0$ , амплитуда которых медленно меняется по гармоническому закону с частотой  $\Omega$  ( $\Omega \ll \omega_0$ ) (рис. 5):

$$f(t) = A_0[1 + m \cos \Omega t] \cos \omega_0 t.$$

Коэффициент  $m$  называют **глубиной модуляции**. При  $m < 1$  амплитуда колебаний меняется от минимальной  $A_{min} = A_0(1 - m)$  до максимальной  $A_{max} = A_0(1 + m)$ . Глубина модуляции может быть представлена в виде

$$m = \frac{A_{max} - A_{min}}{A_{max} + A_{min}}$$

Простым тригонометрическим преобразованием можно найти спектр амплитудно-модулированных колебаний:

$$f(t) = A_0 \cos(\omega_0 t) + \frac{A_0 m}{2} \cos(\omega_0 + \Omega)t + \frac{A_0 m}{2} \cos(\omega_0 - \Omega)t.$$

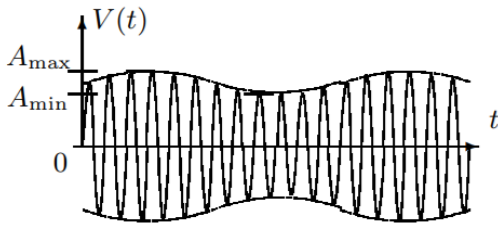


Рис. 5: Модулированные гармонические колебания

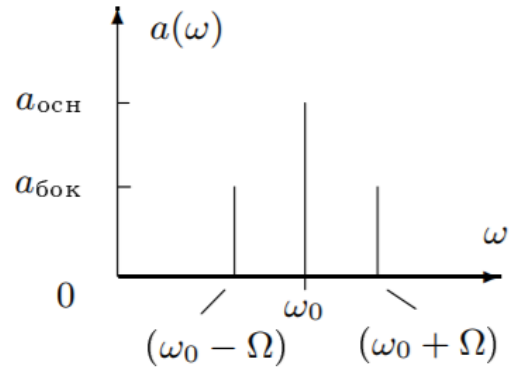


Рис. 6: Спектр модулированных гармонических колебаний

Спектр таких колебаний содержит три составляющих: основную компоненту и две боковых (рис. 6). Первое слагаемое в правой части представляет собой исходное немодулированное колебание с основной (несущей) частотой  $\omega_0$  и амплитудой  $a_{осн} = A_0$ . Второе и третье слагаемые соответствуют новым гармоническим колебаниям с частотами  $\omega_0 + \Omega$  и  $\omega_0 - \Omega$ . Амплитуды этих двух колебаний одинаковы и составляют  $\frac{m}{2}$  от амплитуды немодулированного колебания:  $a_{бок} = \frac{A_0 m}{2}$ . Начальные фазы всех трех колебаний одинаковы.

### 3 Методика измерений

Экспериментальная установка состоит из цифрового генератора сигнала и цифрового осциллографа (рис. 7), соединённых между собой.

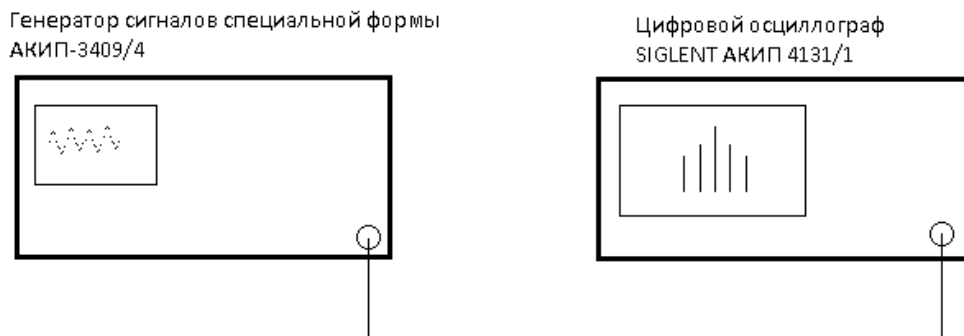


Рис. 7: Схема для исследования спектра сигналов

## 4 Используемое оборудование

1. генератор сигналов произвольной формы;
2. цифровой осциллограф;

## 5 Результаты измерений и обработка данных

### 5.1 Исследование спектра периодической последовательности прямоугольных импульсов

Спектры сигналов при различных  $\nu_{\text{повт}}$  и  $\tau$  представлены на рис. 11-18.

При фиксированных  $\nu_{\text{повт}} = 1 \text{ кГц}$  и  $\tau = 150 \text{ мкс}$  были измерены амплитуды  $a_n$  и частоты  $\nu_n$  для первых 6 гармоник спектра. Рассчитанные и измеренные значения представлены в таб. 1. Для сравнения теоретически рассчитанной и измеренной амплитуд сделана нормировка по наименьшему значению.

$n$	$\nu_n, \text{кГц}$	$a_n$	$\text{норм}(a_n)$	$\nu_{\text{изм}}, \text{кГц}$	$\delta_{\nu_{\text{изм}}}, \text{кГц}$	$a_{\text{изм}}, \text{мВ}$	$\delta_{a_{\text{изм}}}, \text{мВ}$	$\text{норм}(a_{\text{изм}})$
1	1	144,51	8,81	1,00	0,02	820	2	8,54
2	2	128,76	7,85	2,00	0,02	736	2	7,67
3	3	104,80	6,39	3,00	0,02	600	2	6,25
4	4	75,68	4,62	4,00	0,02	432	2	4,50
5	5	45,02	2,75	5,00	0,02	264	2	2,75
6	6	16,39	1	6,00	0,02	96	2	1

Таблица 1: Результаты теоретического расчёта и измерений амплитуд и частот первых 6 гармоник спектра

Результаты измерений зависимости ширины спектра  $\Delta\nu$  от времени импульса  $\tau$  в диапазоне от 20 до 200 мкс при фиксированной  $\nu_{\text{повт}} = 1 \text{ кГц}$  представлены в таб. 2.

$\tau, \text{мкс}$	$1/\tau, 1/\text{с}$	$\Delta\nu, \text{кГц}$	$\delta_{\Delta\nu}, \text{кГц}$
20	50000	50,20	0,02
70	14286	14,00	0,02
120	8333	8,00	0,02
170	5882	6,00	0,02
200	5000	5,00	0,02

Таблица 2: Результаты измерений зависимости ширины спектра  $\Delta\nu$  от длительности импульса  $\tau$

График зависимости  $\Delta\nu(1/\tau)$  представлен на рис. 8.

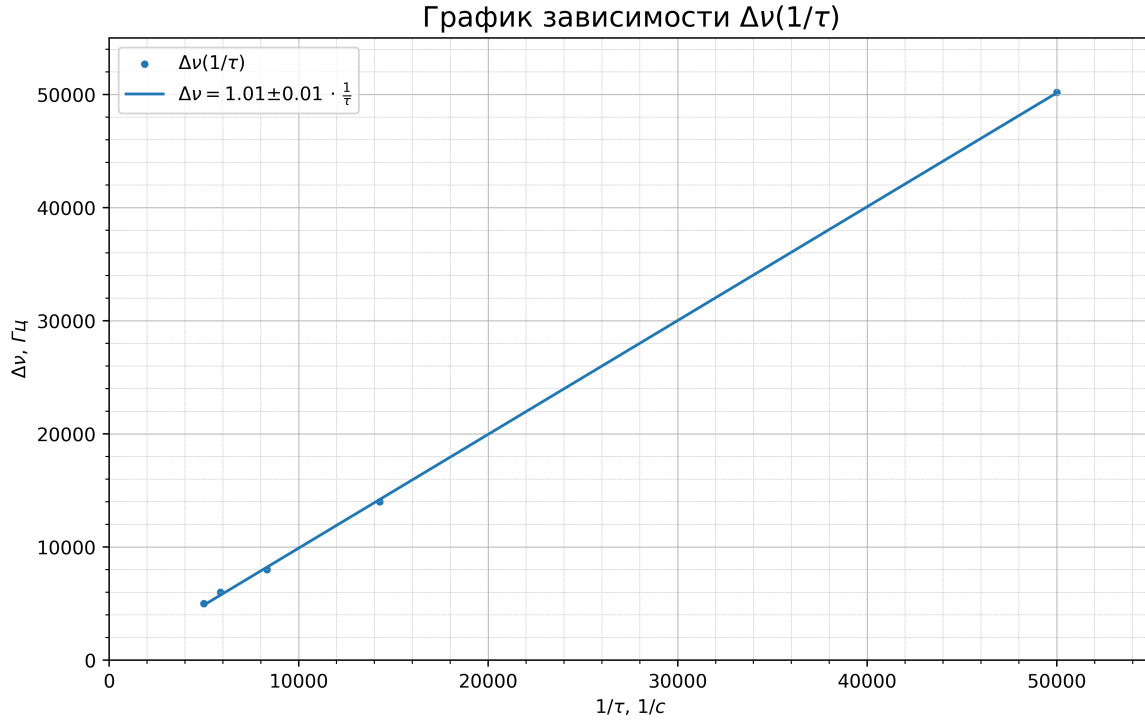


Рис. 8: График зависимости ширины спектра  $\Delta\nu$  от обратной величины длительности импульса  $1/\tau$

## 5.2 Исследование спектра периодической последовательности цугов

Спектры сигналов при различных  $\nu_0$ ,  $T$  и  $N$  представлены на рис. 19-23.

При фиксированных параметрах  $\nu_0 = 50 \text{ кГц}$  и  $N = 5$  была измерена зависимость расстояния  $\delta\nu$  между соседними спектральными компонентами сигнала от периода  $T$  повторения импульсов в диапазоне  $T = 0,2 - 5 \text{ мс}$ . Измеренные значения представлены в таб. 3.

$T, \text{мс}$	$\delta\nu, \text{Гц}$	$\delta_{\delta\nu}, \text{Гц}$
0,2	10000	10
1,2	800	10
2,2	440	10
3,2	300	10
4,2	240	10
5	200	10

Таблица 3: Результаты измерений зависимости  $\delta\nu(T)$

Значение  $\delta\nu$  при  $T = 0,2 \text{ мс}$  существенно отличается от общей зависимости и является ошибкой. Полученный график зависимости  $\delta\nu(1/T)$  представлен на рис. 9.

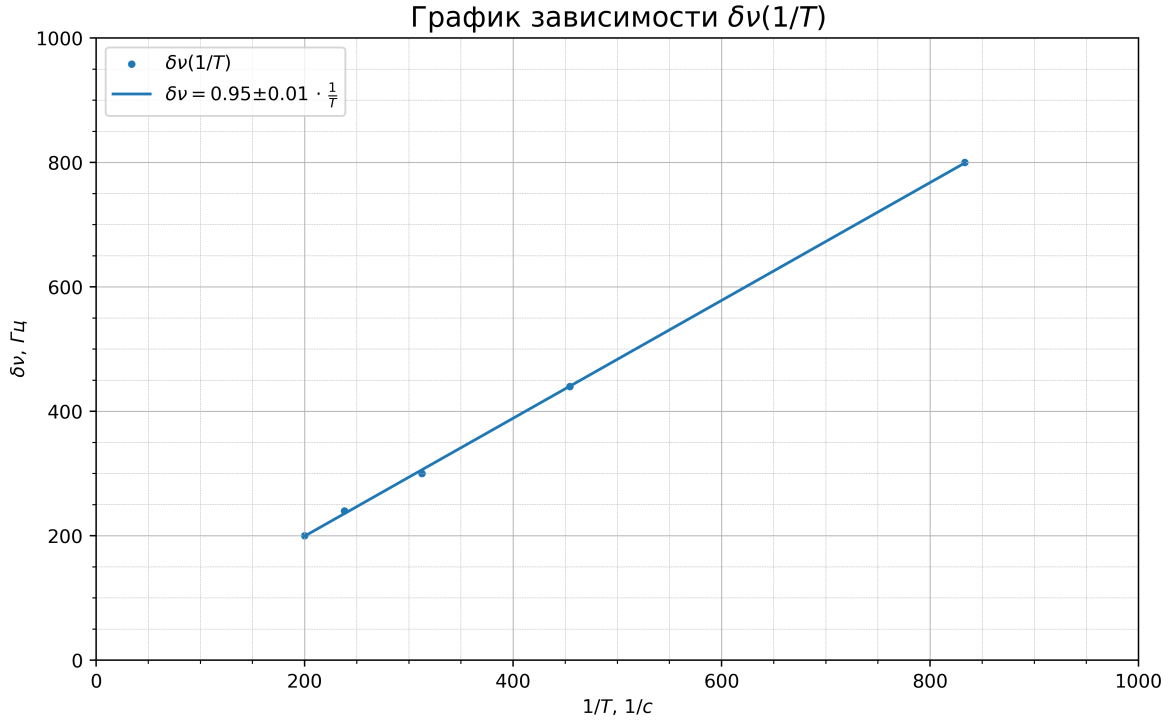


Рис. 9: График зависимости расстояния между соседними спектральными компонентами сигнала  $\delta\nu$  от обратной величины периода повторения  $1/T$

### 5.3 Исследование спектра амплитудно-модулированного сигнала

Картина сигнала представлена на рис. 24. Измеренные значения:  $A_{max} = 1,62 \text{ В}$ ,  $A_{min} = 0,56 \text{ В}$ ,  $m = \frac{A_{max}-A_{min}}{A_{max}+A_{min}} = 0,49 \approx 0,5$ , а значит равенство справедливо. Спектры сигналов при различных  $\nu_0$  и  $\nu_{mod}$  представлены на рис. 25-27.

При фиксированных параметрах  $\nu_0 = 60 \text{ кГц}$  и  $\nu_{mod} = 5 \text{ кГц}$  была измерена зависимость отношения  $a_{бок}/a_{осн}$  амплитуд боковой и основной спектральных линий от глубины модуляции  $m$  в диапазоне от 10% до 100%. Измеренные значения представлены в таб. 4.

$m$	$a_{бок}, \text{мВ}$	$\delta_{a_{бок}}, \text{мВ}$	$a_{осн}, \text{мВ}$	$\delta_{a_{осн}}, \text{мВ}$	$a_{бок}/a_{осн}$	$\delta_{a_{бок}/a_{осн}}$
0,1	32	2	728	2	0,044	0,003
0,3	104	2	728	2	0,143	0,003
0,5	176	2	728	2	0,242	0,003
0,7	256	2	728	2	0,352	0,003
0,9	328	2	728	2	0,451	0,003
1	364	2	728	2	0,500	0,003

Таблица 4: Результаты измерений зависимости  $a_{бок}/a_{осн}$  от  $m$

Полученный график зависимости  $a_{бок}/a_{осн}$  от  $m$  представлен на рис. 10.

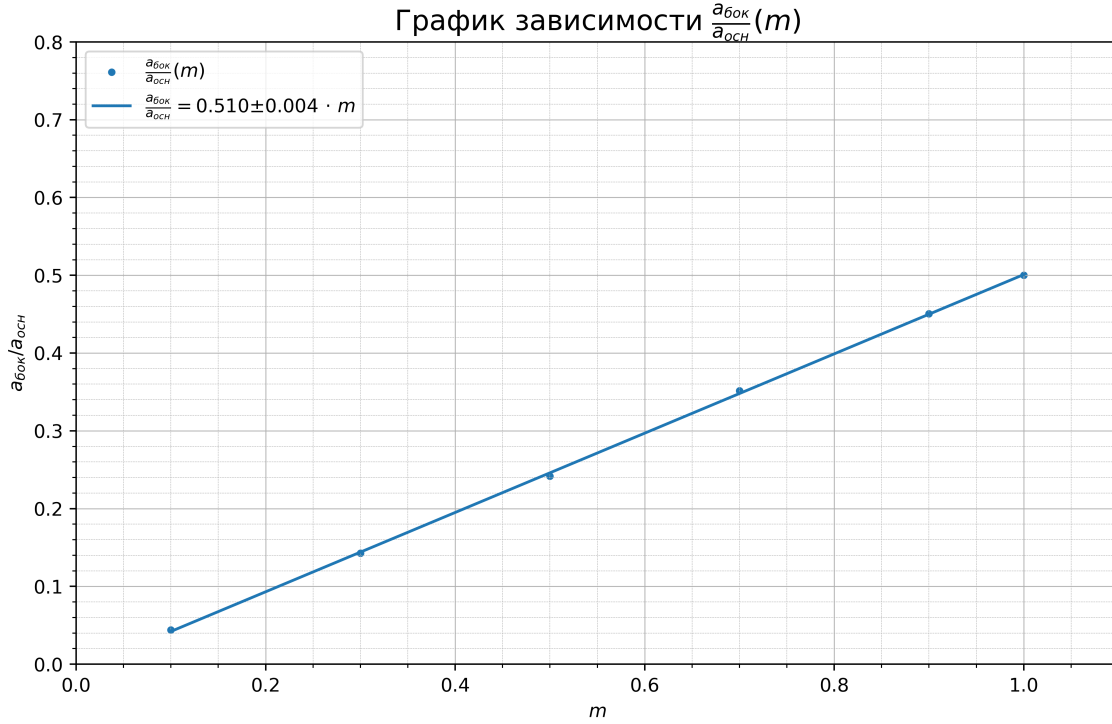


Рис. 10: График зависимости отношения  $a_{бок}/a_{осн}$  амплитуд боковой и основной спектральных линий от глубины модуляции  $m$

## 5.4 Исследование спектра сигнала, модулированного по фазе

Спектры сигналов представлены на рис. 28-29.

## 6 Обсуждение результатов и выводы

В данной работе был исследован спектральный состав периодических электрических сигналов.

При исследовании спектра периодической последовательности прямоугольных импульсов при фиксированных параметрах  $\nu_{ном}$  и  $\tau$  были измерены амплитуды и частоты первых 6 гармоник (таб. 1). Измеренные значения соответствуют рассчитанным теоретически. Также была измерена зависимость ширины спектра  $\Delta\nu$  от времени импульса  $\tau$ . Из полученной зависимости (рис. 8) следует:

$$\Delta\nu \cdot \tau \simeq 1,01 \pm 0,01,$$

что соответствует соотношению неопределённостей в рамках погрешности. Основной вклад в погрешность вносит определение коэффициента зависимости, так как благодаря использованию цифровых приборов другие источники погрешности отсутствуют или их влияние незначительно.

При исследовании спектра периодической последовательности цугов была измерена зависимость расстояния  $\delta\nu$  между соседними спектральными компонентами сигнала от периода  $T$  повторения импульсов. Из полученной зависимости (рис. 9) следует:

$$\delta\nu \cdot \tau \simeq 0,95 \pm 0,01,$$



что близко к соотношению неопределённостей. Здесь основной вклад в погрешность также вносит определение коэффициента зависимости.

При исследовании спектра амплитудно-модулированного сигнала была измерена зависимость отношения  $a_{бок}/a_{осн}$  амплитуд боковой и основной спектральных линий от глубины модуляции  $m$ . Из полученной зависимости (рис. 10) следует:

$$\frac{a_{бок}}{a_{осн}} = 0,510 \pm 0,004 \cdot m,$$

что соответствует теоретической зависимости  $\frac{a_{бок}}{a_{осн}} = \frac{m}{2}$ . Аналогично здесь основной вклад в погрешность вносит определение коэффициента зависимости.

Также в данной работе был изучен спектр сигнала, модулированного по фазе. Спектры сигналов при различном максимальном отклонении  $\varphi_m$  приведены на рис. 28-29.

## 7 Приложение

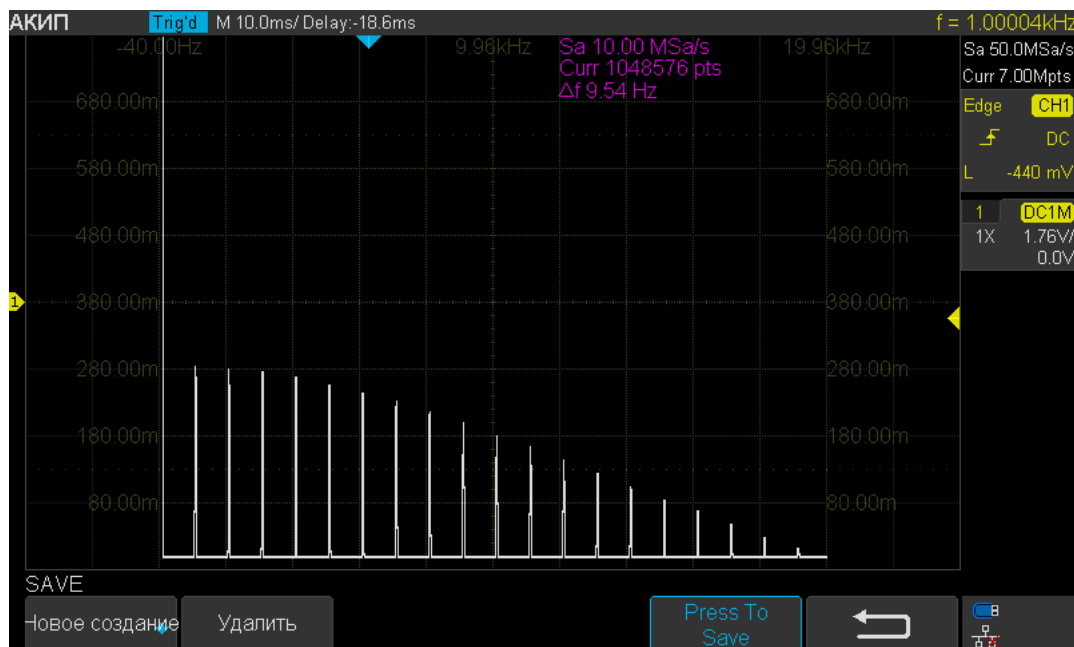


Рис. 11: Спектр периодической последовательности прямоугольных импульсов при  $\nu_{ном} = 1 \text{ кГц}$ ,  $\tau = 50 \text{ мкс}$

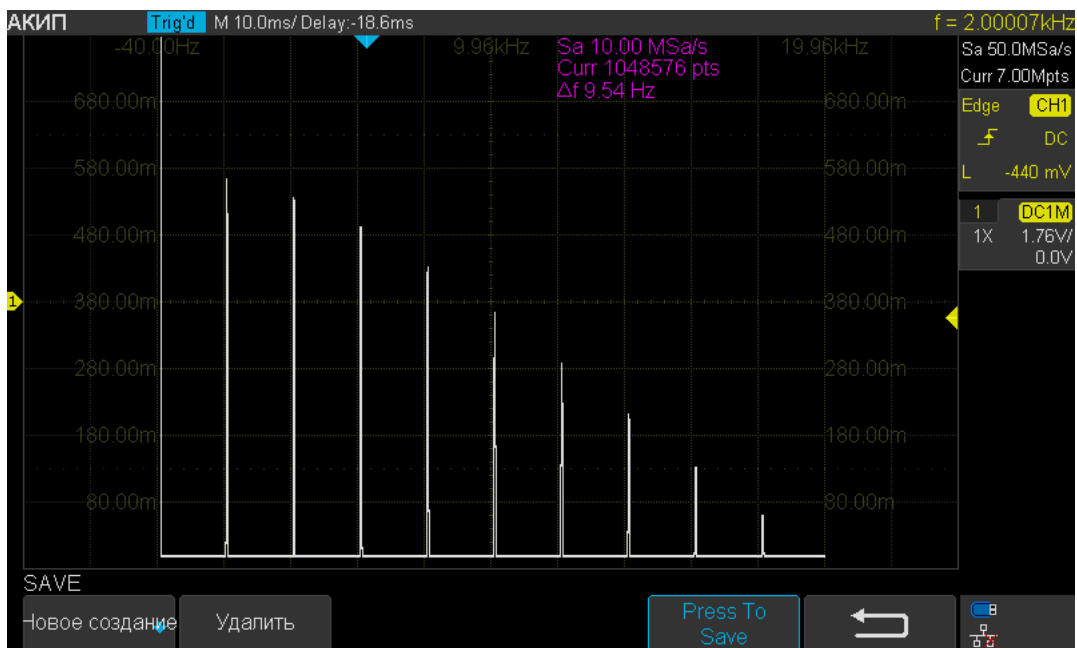


Рис. 12: Спектр периодической последовательности прямоугольных импульсов при  $\nu_{повт} = 2 \text{ кГц}$ ,  $\tau = 50 \text{ мкс}$

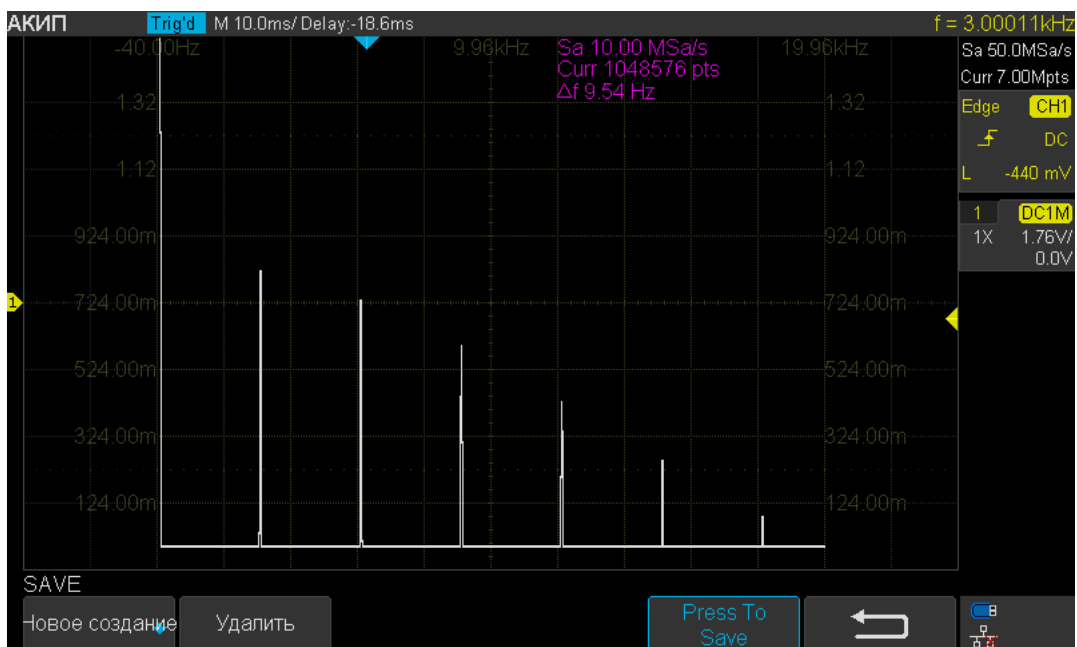


Рис. 13: Спектр периодической последовательности прямоугольных импульсов при  $\nu_{повт} = 3 \text{ кГц}$ ,  $\tau = 50 \text{ мкс}$

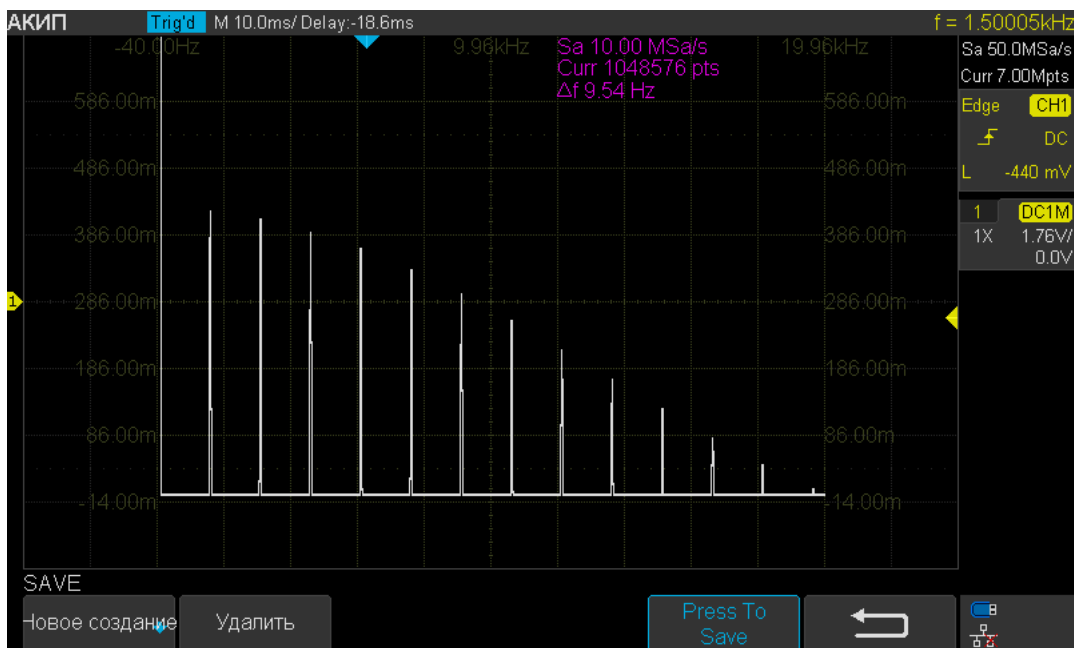


Рис. 14: Спектр периодической последовательности прямоугольных импульсов при  $\nu_{повт} = 1,5 \text{ кГц}$ ,  $\tau = 50 \text{ мкс}$

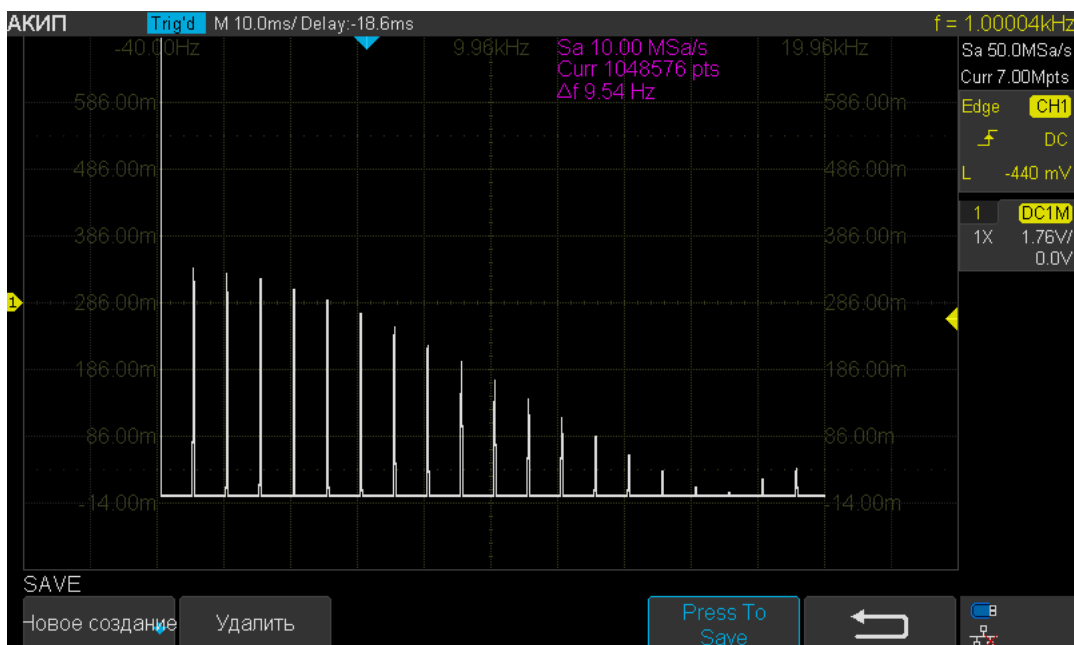


Рис. 15: Спектр периодической последовательности прямоугольных импульсов при  $\nu_{повт} = 1 \text{ кГц}$ ,  $\tau = 60 \text{ мкс}$

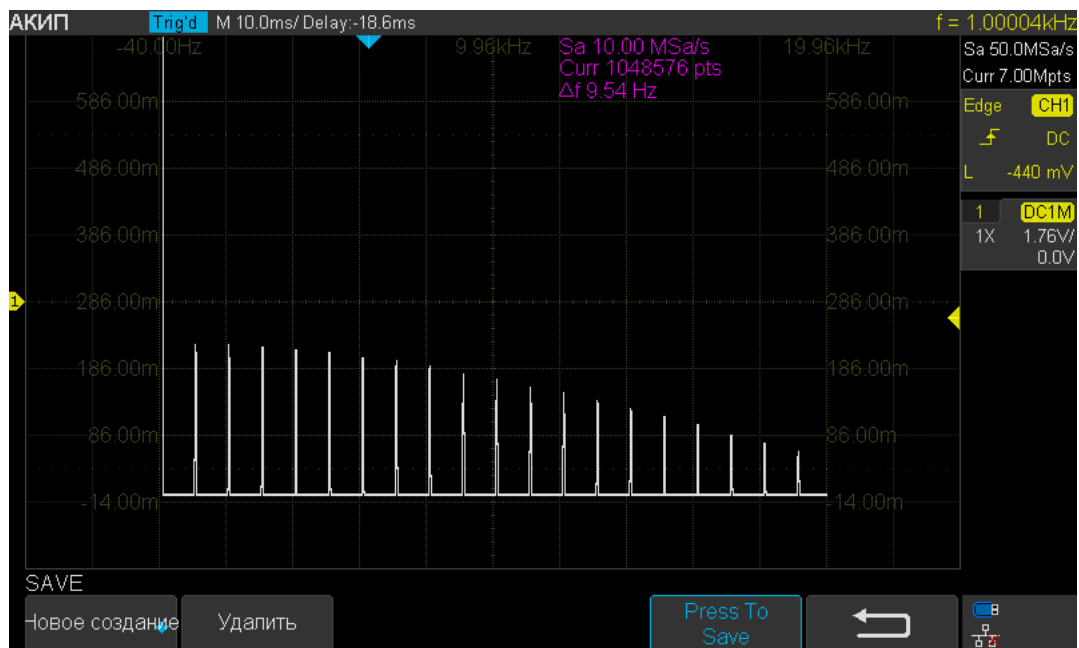


Рис. 16: Спектр периодической последовательности прямоугольных импульсов при  $\nu_{повт} = 1 \text{ кГц}$ ,  $\tau = 40 \text{ мкс}$

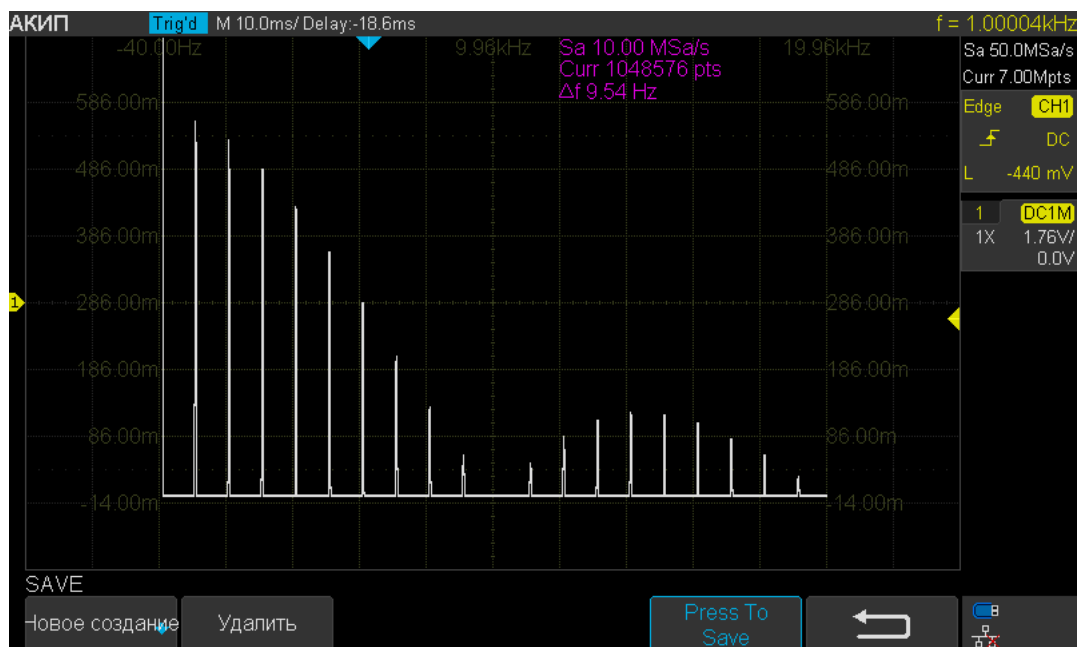


Рис. 17: Спектр периодической последовательности прямоугольных импульсов при  $\nu_{повт} = 1 \text{ кГц}$ ,  $\tau = 100 \text{ мкс}$

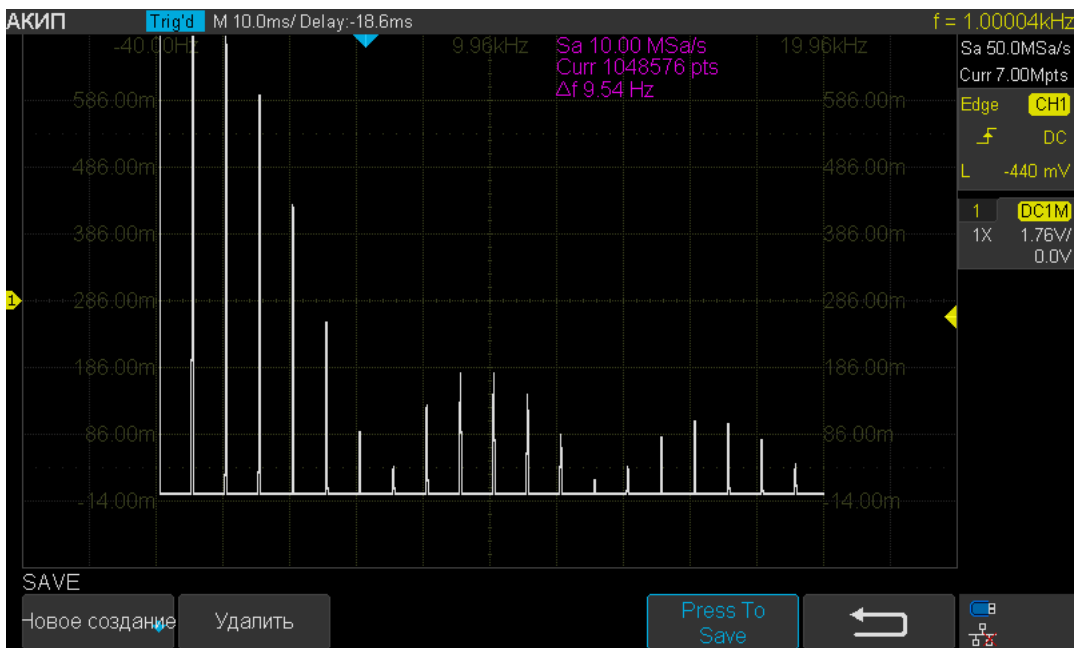


Рис. 18: Спектр периодической последовательности прямоугольных импульсов при  $\nu_{повт} = 1 \text{ кГц}$ ,  $\tau = 150 \text{ мкс}$

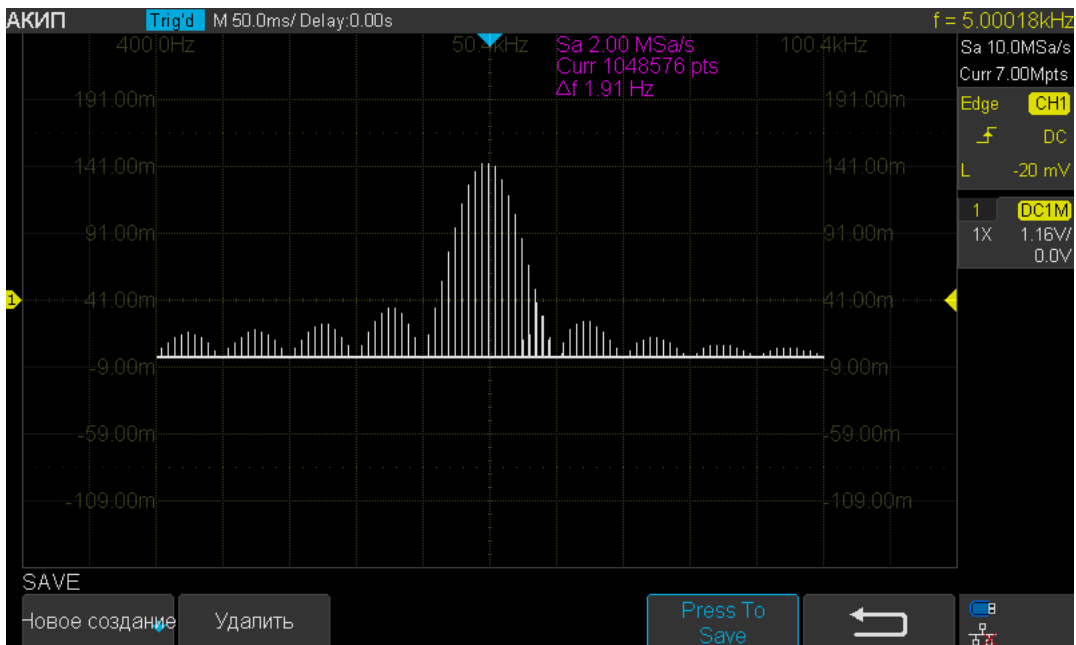


Рис. 19: Спектр периодической последовательности цугов при  $\nu_0 = 50 \text{ кГц}$ ,  $T = 1 \text{ мс}$ ,  $N = 5$

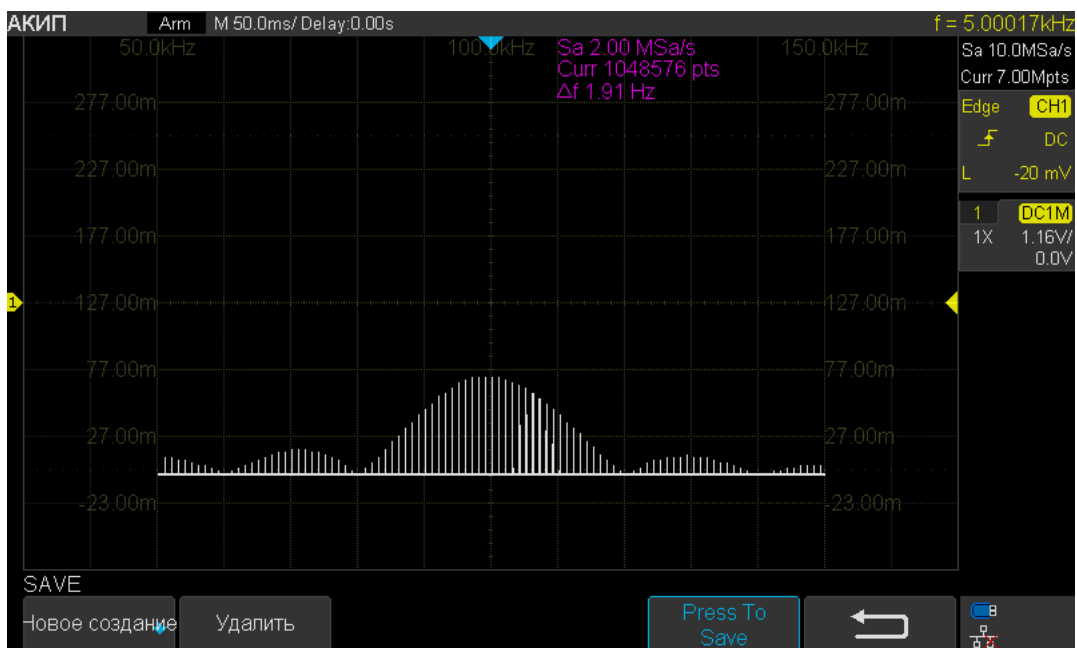


Рис. 20: Спектр периодической последовательности цугов при  $\nu_0 = 100 \text{ кГц}$ ,  $T = 1 \text{ мс}$ ,  $N = 5$

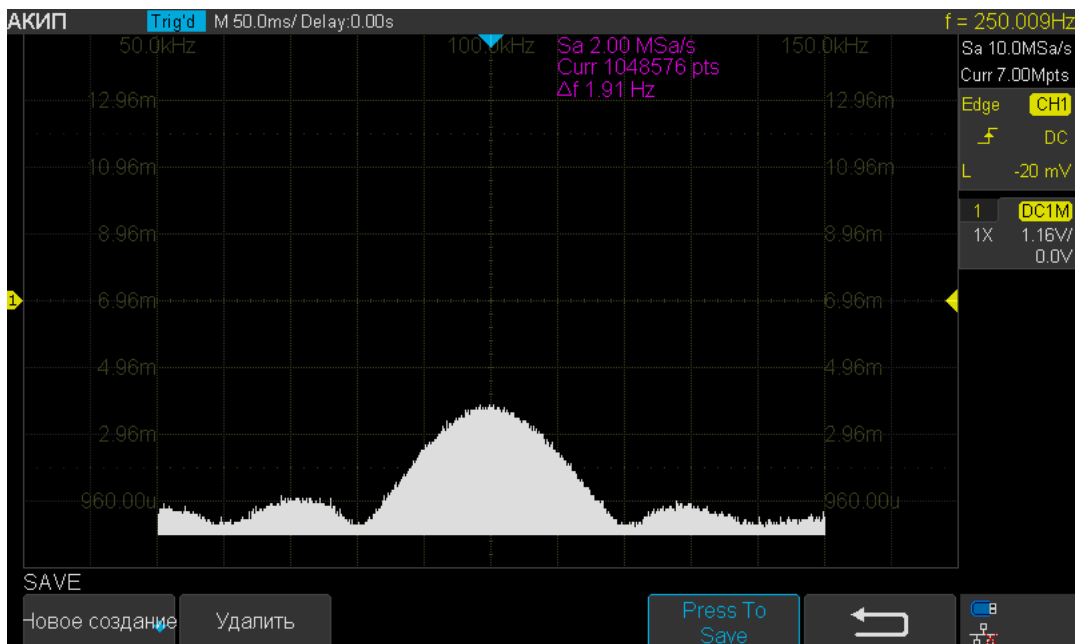


Рис. 21: Спектр периодической последовательности цугов при  $\nu_0 = 100 \text{ кГц}$ ,  $T = 20 \text{ мс}$ ,  $N = 5$

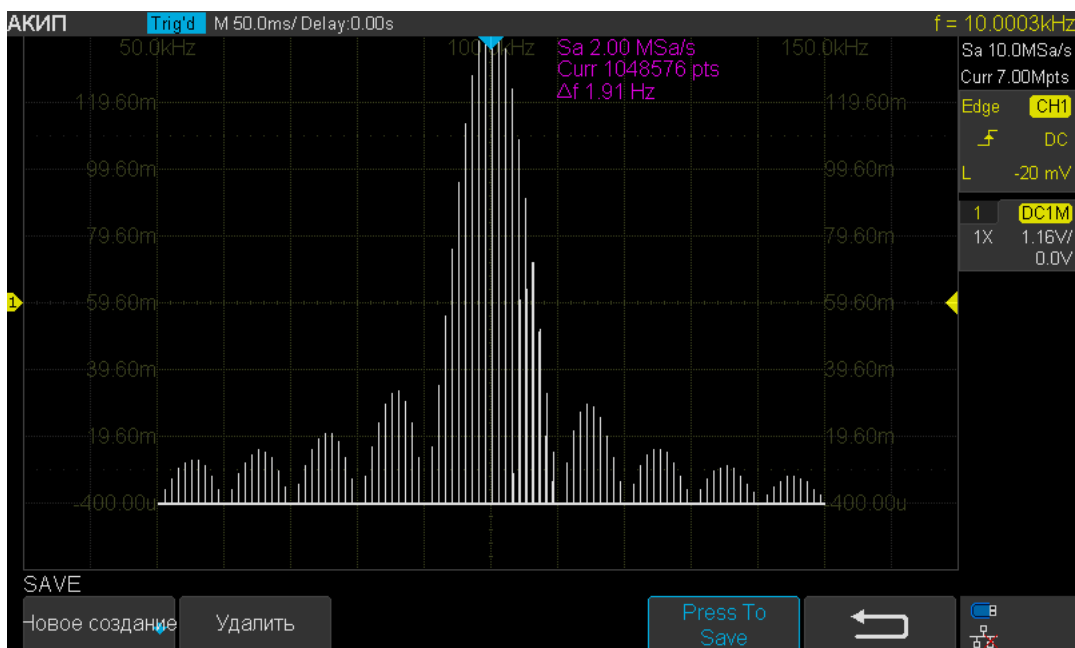


Рис. 22: Спектр периодической последовательности цугов при  $\nu_0 = 100 \text{ кГц}$ ,  $T = 1 \text{ мс}$ ,  $N = 10$

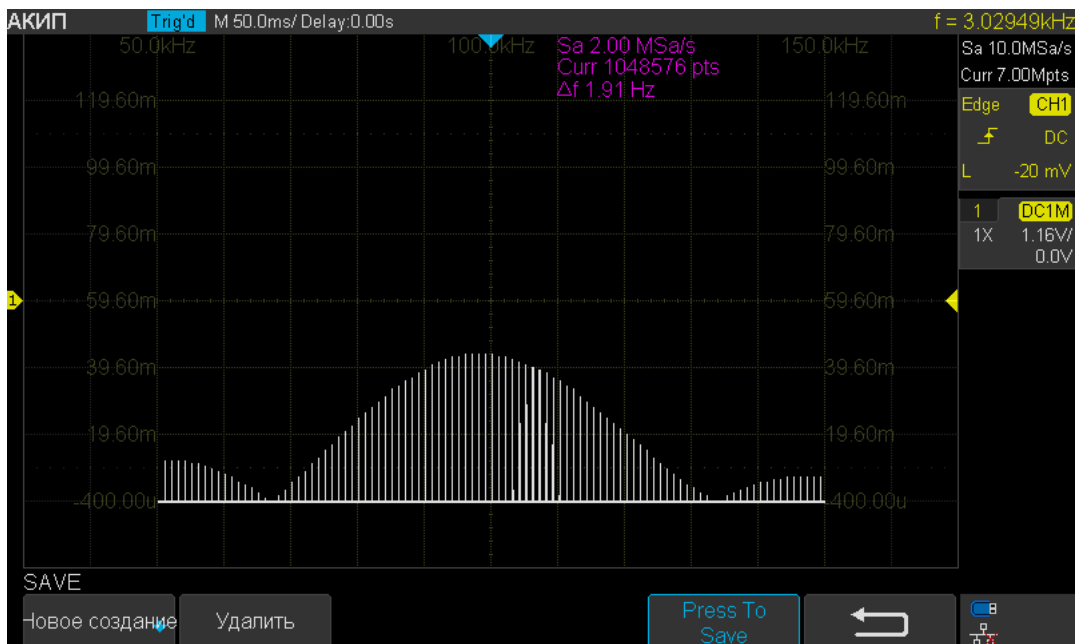


Рис. 23: Спектр периодической последовательности цугов при  $\nu_0 = 100 \text{ кГц}$ ,  $T = 1 \text{ мс}$ ,  $N = 3$

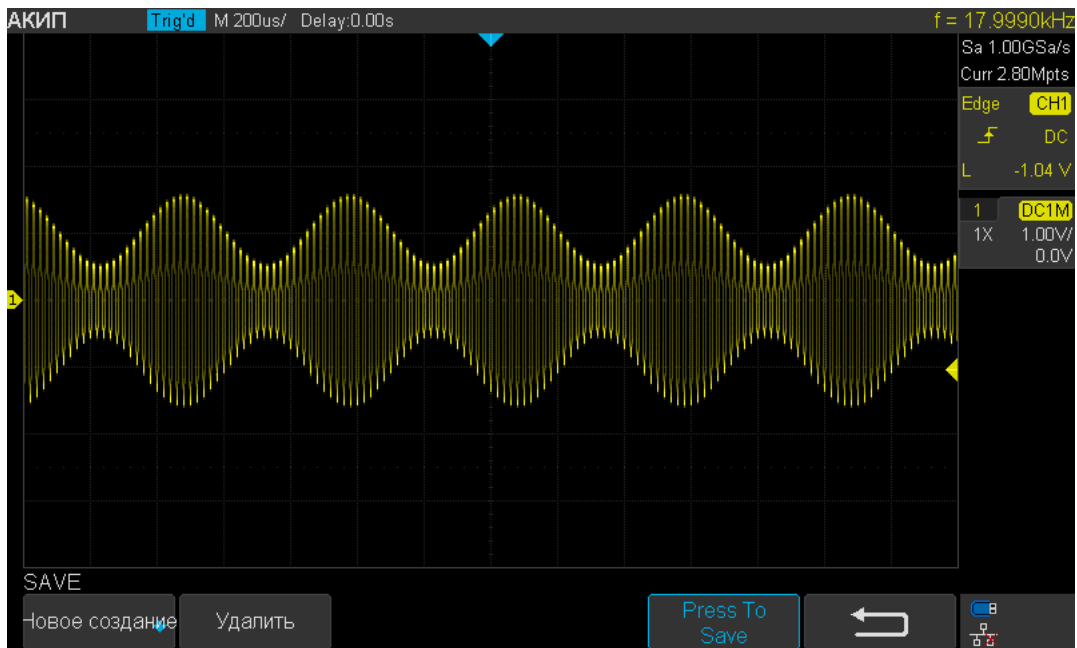


Рис. 24: Амплитудно-модулированный сигнал при  $\nu_0 = 50 \text{ кГц}$ ,  $\nu_{mod} = 2 \text{ кГц}$  и  $m = 0,5$

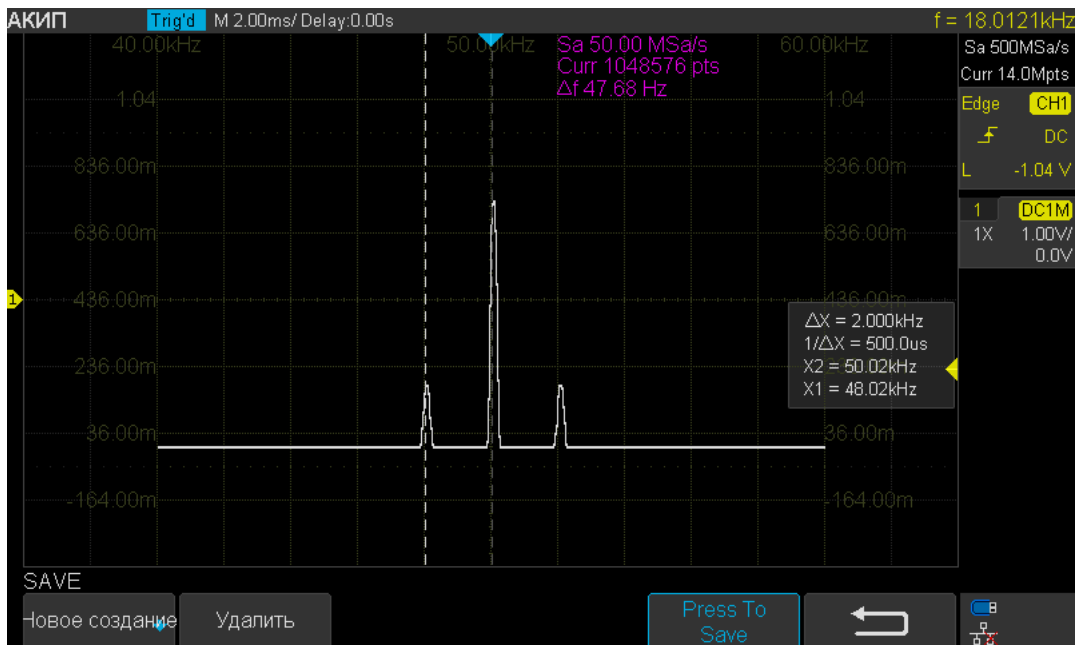


Рис. 25: Спектр амплитудно-модулированного сигнала при  $\nu_0 = 50 \text{ кГц}$ ,  $\nu_{mod} = 2 \text{ кГц}$  и  $m = 0,5$



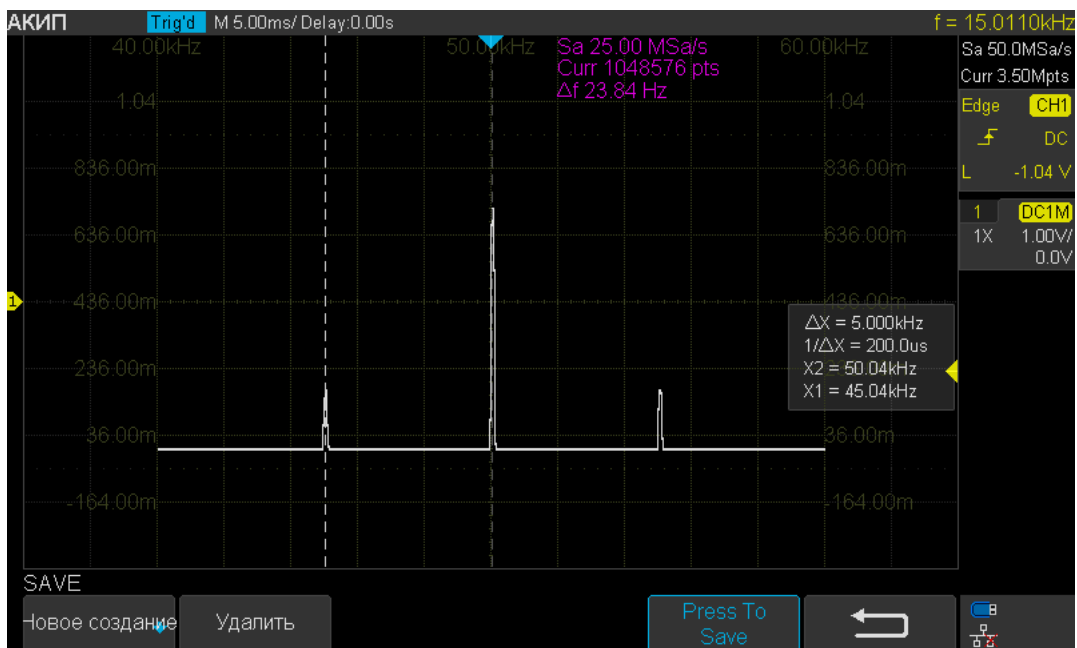


Рис. 26: Спектр амплитудно-модулированного сигнала при  $\nu_0 = 50 \text{ кГц}$ ,  $\nu_{mod} = 5 \text{ кГц}$  и  $m = 0,5$

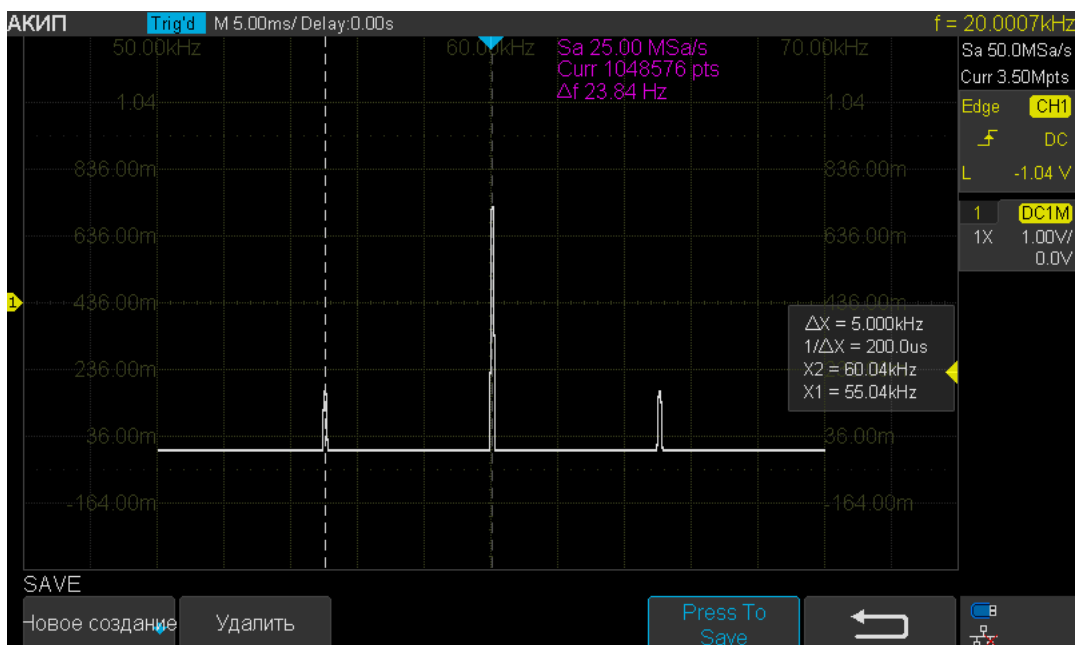


Рис. 27: Спектр амплитудно-модулированного сигнала при  $\nu_0 = 60 \text{ кГц}$ ,  $\nu_{mod} = 5 \text{ кГц}$  и  $m = 0,5$

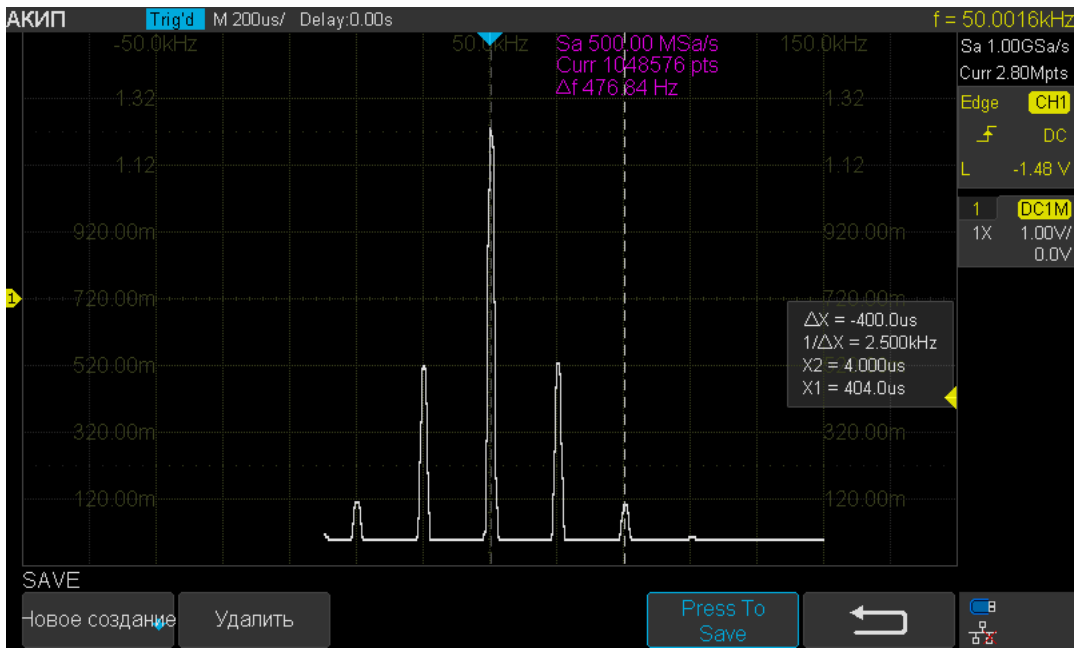


Рис. 28: Спектр модулированного по фазе сигнала при  $\nu_0 = 50 \text{ кГц}$ ,  $\nu_{mod} = 2 \text{ кГц}$  и  $\varphi_m = 10^\circ$

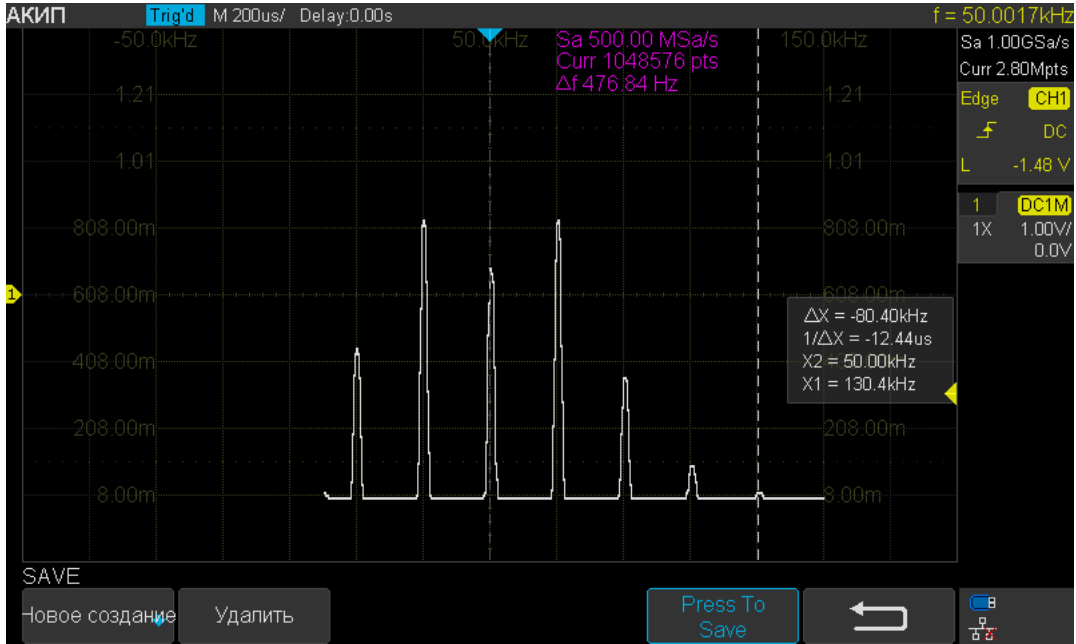


Рис. 29: Спектр модулированного по фазе сигнала при  $\nu_0 = 50 \text{ кГц}$ ,  $\nu_{mod} = 2 \text{ кГц}$  и  $\varphi_m = 90^\circ$